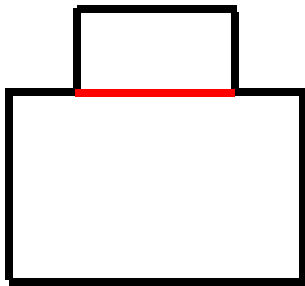


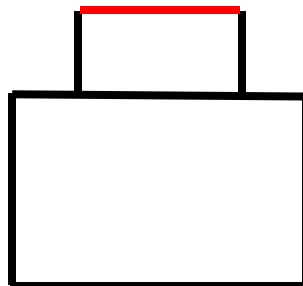
Transformationen komplexer in reelle ontische Strukturen

1. Die folgenden sechs Grundtypen komplexer ontischer Strukturen enthalten in rot deren Abschlüsse, welche sie in reelle ontische Strukturen transformieren (vgl. Toth 2014) und ferner deren lagetheoretische sowie semiotische äquivalente formale Definitionen der ursprünglichen, d.h. nicht-abgeschlossenen komplexen Zeichenzahlenstrukturen.

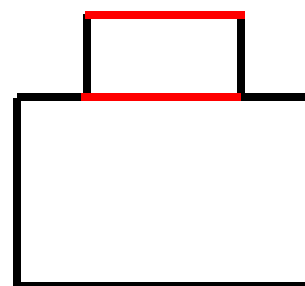
1.1. $\bar{z} = a - bi$ 1.3. $-\bar{z} = -a - bi$ 1.5. $-\bar{z} \cup z$



Systemexessiv
Umgebungsadessiv
(3.2, (2.2., 2.1))

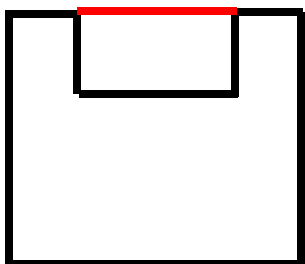


—
Umgebungsexessiv
(3.2, (2.1))

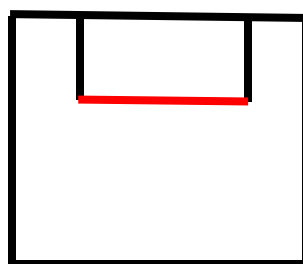


Systemexessiv
Umgebungsexessiv
(3.1, ((2.1, 2.2), 2.2))

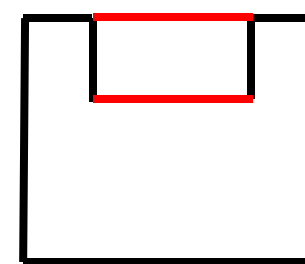
$z = -a + bi$ 1.4. $z = a + bi$ 1.6. $z \cup -\bar{z}$



Umgebungsexessiv
Systemadessiv
(3.2, (2.1, 2.2))



—
Systemexessiv
(3.2, (2.1))



Umgebungsexessiv
Systemexessiv
(3.1, ((2.1, 2.2), 2.2)).

2. Sofern die Systeme, d.h. die S , komplex sind, insofern sie einem der sechs ontischen Strukturen entsprechen, können sie zwar nicht selbst, aber durch Adjunktion von Umgebungsobjekten, d.h. als S^* , in reelle ontische Strukturen

transformiert werden. Wir sprechen in diesem Zusammenhang von reellen S^* -Abschlüssen komplexer S -Strukturen. Nachfolgend werden die Haupttypen beschrieben.

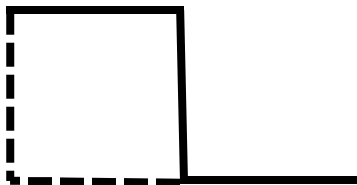
2.1. Orthogonale S^* -Abschlüsse

2.1.1.



Rue d'Aubervilliers, Paris

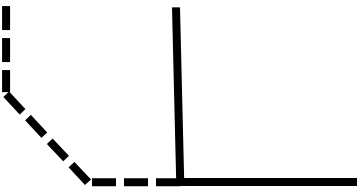
2.1.2.





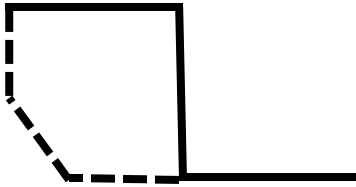
2.2. Übereckrelationale S*-Abschlüsse

2.2.1.



Rue Pasteur, Paris

2.2.2.



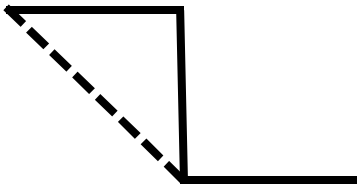
Rue de Braque, Paris

Keine Transformation komplexer in reelle ontische Struktur durch Abschluß findet statt im folgenden Beispiel.



Rue de la Verrerie, Paris

2.3. Diagonale S*-Abschlüsse



Rue d'Ulm, Paris

Keine Transformation komplexer in reelle ontische Struktur durch Abschluß findet statt im folgenden Beispiel.



Rue Haxo, Paris

Literatur

Toth, Alfred, Zur ontisch-semiotischen Äquivalenz komplexer Zeichenzahlen.
In: Electronic Journal for Mathematical Semiotics, 2014

16.1.2015